

京都大学工学部 学生員 古市 徹
 同上 正員 平岡正勝
 同上 正員 池田有光

1. はじめに. 本研究の目的は、環境汚染問題を分布定数系の予測と制御としてとらえ種々の問題を整理しつつその解析手法についてまとめることにある。今回は特に、大気汚染の総量規制において重要となるバックグラウンドの推定に關して、移流項・外力項がある数学モデルでの推定手法について新しく知見が得られたので報告する。

2. 推定・同定問題 分布定数モデルは、物理現象をより忠実に表現しているにもかかわらず避けられてきたようである。その主な理由は、問題によって数学モデルおよび解析手法が異なることである。すなわち、分布定数系に対して何らかの結果を得たとしても、それはその時使用した数学モデルを前提としたことであり、数学モデルが別の形になればその手法はもう通用しないことである。しかし、モデリングさえしっかりしていれば、推定・同定に關していくつかの問題に分類でき、多種多様な手法についても整理できるものとする。Table-1に整理した結果を示す。更に、現実の観測データとの係わりを考えると観測モデルを如何に表現するかということ、また評価関数をどのようにとるかということも大事なことであり、それについてはTable-2に概要を示している。

Table-1. 文献の位置付け.

手法	推定			同定				
	汚染濃度分布	汚染源強度	初期値 (G/F/F/F)	汚染源位置	最適観測点	移流項	拡散係数	最適観測時間
カルマンフィルター	○	○		○	○		○	○
最小二乗	○	○	○		○		○	
Bayes則	○			○			○	
積分方程式	○							
確率近似	○				○			○
その他	統計モデル	○						
	GMDH	○						
	Riccati	○	○			○		
	差分	○				○		
	クラキン法	○						

Table-2. 分布系の観測モデル.

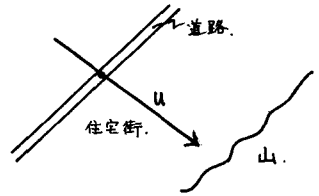
測定空間	観測モデル	簡略化観測モデル	評価関数
(t, x)	$y(t, x) = \int_a^b h(t, x, C(t, x)) dx + \xi(t, x)$	$y(t) = \int_a^b h(x, t) C(t, x) dx + \xi(t)$ $H(x, t) = \int_a^b h(x, t) \delta(x-x_i) dx$ $Y(t) = \int_a^b H(x, t) y(t, x) dx$	A. $J = \int_0^T \int_a^b \xi_i^2(t, x) dx dt$ B. $J = \int_0^T \int_a^b \xi_i^2(t, x) dx dt$
(t)	$y(t) = \int_a^b h(t, x, C(t, x)) dx + \xi(t)$	① 全観測 $H(x, t) = \int_a^b h(x, t) \delta(x-x_i) dx$ ② 点観測 $H(x, t) = \int_a^b h(x, t) \delta(x-x_i) dx$ ③ 観測ノイズ $H(x, t) = 0, y(t) = 0$	
(x)	$y(x) = \int_0^T h(t, x, C(t, x)) dt + \xi(x)$		
(t)	$y = \int_0^T \int_a^b h(t, x, C(t, x)) dx dt + \xi$		

3. 大気汚染での問題 大気汚染を例にとって、Table-1の問題が具体的にどのようなことを意味した解決されるべきかを考えてみる。(1)汚染濃度分布. 非物理モデルは、(a)気象条件、流れ場、モデルパラメータに關しての情報不足、(b)短時間予測、(c)オンライン処理などの場合には有効な方法であり、自己帰帰モデル等多くの統計モデルが提案されている。しかしデータの事前処理に難点がある(例えば、定常性の検定)。また物理モデルと組合せて用いる方法が最近でてきているようである。例えば、カルマンフィルター(集中系) + 多変量解析、物理モデル + GMDHによる数値的修正など。この方向は、現実を考慮すると賢明であると考えられるが、例えば集中定数系としてのカルマンフィルターの適用は、大気汚染一般が物理の基礎法則に従う大気拡散現象であるという立場をとるならば物理的説明がつきにくい。よって分布定数系によるモデル化によって現象を精緻化する立場が、測定技術等の向上とあいまって今後有望であると考えられる。拡散式についても、3次元問題(定常)で変係数の場合でもGreen関数が解けておりさしに推定の説明がつきやすくなると思われる。(2)汚染源強度. 定常点源については既に研究されているが、未開拓で興味あるものとして定常線源がある。これは、自動車によるSO₂あるいはNO_xの濃度推定に対応するが、なかなか実態がつかみにくいという現実を考慮すると推定の意義がでてくる。(3)最適観測点. 既に多くの研究があるが、これはまさにモデルを分布定数系で記述することのmeritであると考えられる。評価関数として、気象要素や排出源パラメータの変動が濃度分布に最も影響を与えるような点に観測点を置くと、各観測点の独立性を最大にするような配置をすることができると考えられる。また与えられた観測点をいくつかまで減らすことができるとか、逆に観測点をどこにいくつ増やすと予測精度がどれほど

け向上するかという問題を考えるのも興味あると言える。(4) 拡散係数 拡散係数を確率変数と見なして推定したり、簡単な関数で近似する方法がある。これは本質的に流れ場の乱流構造と関係することであり、学問上あるいは現実問題として研究の価値があると考えられる。(5) 移流入項 分布定数系の境界条件として考慮されるものであり、例えば「京都市の大阪からの汚染寄与を推定することに相当する。以上のような問題以外にも考えられるが、次に初期値の推定についてより具体的に考えて見よう。

4. 初期値(バックランド)の推定

3次元拡散場での拡散方程式は(1)式で表現される。さて、ここでFig-1のように道路に垂直にx軸をとり、その方向に風速 $U (=const.)$ で風が吹いているものとする。今、道路と平行に山があり、山と道路の間に住宅街がある場合を想定する。よって次の仮定をする。 $K_y = K_z = 0, V = W = 0$ 即ち、方程式(2)と境界条件(3)で数学モデルを構成する。道路



からの汚染の寄与を評価するに当って、この地域での初期濃度を推定することは意義あることと言えよう。観測は(4)式のように離散時間毎に行なわれるものとする。観測点 y_k はサンプル時刻毎に同じであるが、変わってもよいものとする。さて、初期値を推定するとき、分布定数系に於いては系が可観測であつて、観測データから初期値が一意的に存在することが言えるだけで、一般には初期値が観測データに連続的に依存するということはいえない。これは観測には誤差が必ず伴うことを考えると、初期値を推定することが意味のないことになり、困ったことになる。そこで、A.N. Tikhonovによる近似手法である正則化の方法によって解を求めことにする。(観測データが離散時刻でしか得られない今の場合、分布定数系では可観測性も期待できない。よって初期値の一意的保証できないのであるが、N段出力制御師ということが言えれば、正則化の方法で近似解を求めることができる。) (2)式は線形であり、重ね合せの原理が使え、外力項が任意時刻に初期値にくり込めることを考えると(5)式で「固有関数展開」を考えてよい。 $x = \sqrt{K} \xi, \xi \in \Omega = (0, \frac{1}{\sqrt{K}})$ のような変数変換を考える。(5)式は(6)式のようになる。更に次のように \tilde{C} と考える。 $C_1(\xi, t) = \tilde{C}(\xi, t) \cdot \exp\{-\frac{U}{2K} \xi^2 t\}$ 。(6)式に λ とすると(7)式となる。また境界条件は(3)式より(8)式となる。系(7)、(8)の固有値、固有関数は次々(9)、(10)となる。

$$\begin{aligned} \frac{\partial C}{\partial t} + u \frac{\partial C}{\partial x} + v \frac{\partial C}{\partial y} + w \frac{\partial C}{\partial z} &= \frac{\partial}{\partial x} (K_x \frac{\partial C}{\partial x}) + \frac{\partial}{\partial y} (K_y \frac{\partial C}{\partial y}) + \frac{\partial}{\partial z} (K_z \frac{\partial C}{\partial z}) + S. \quad (1) \\ \frac{\partial C}{\partial t} &= K \frac{\partial^2 C}{\partial x^2} - u \frac{\partial C}{\partial x} + g \cdot \delta(x - x_s) \quad (2) \\ \text{但し、 } g &: \text{一定排出強度, } x_s: \text{汚染源位置, } t > 0, x \in \Omega = (0, L) \\ K &: \text{const.} \quad (3) \\ \frac{\partial C}{\partial x} \Big|_{x=0} = \frac{\partial C}{\partial x} \Big|_{x=L} &= 0 \quad (4) \\ E_k &= C(k \cdot \Delta t, y_k) + m_k \quad (5) \\ \text{但し、 } 0 &\leq y_k \leq L, k=1, \dots, N, m_k: \text{観測誤差} \quad (6) \\ \frac{\partial C}{\partial t} &= K \frac{\partial^2 C}{\partial x^2} - u \frac{\partial C}{\partial x} \quad (7) \\ \frac{\partial C}{\partial t} &= \frac{\partial^2 C}{\partial \xi^2} - \frac{u}{\sqrt{K}} \frac{\partial C}{\partial \xi} \quad (8) \\ \frac{\partial C}{\partial t} &= \frac{\partial^2 C}{\partial \xi^2} - \frac{u^2}{4} C \quad (9) \\ \frac{\partial C}{\partial \xi} \Big|_{\xi=0} = \frac{\partial C}{\partial \xi} \Big|_{\xi=\frac{1}{\sqrt{K}}} &= 0 \quad (10) \\ \{ \lambda_n \} &= \left\{ -\frac{K \pi^2 n^2}{L^2} + \frac{u^2}{4} \right\} \quad n=0, 1, 2, \dots \quad (11) \\ \{ \varphi_n(\xi) \} &= \left\{ 1, \sqrt{2} \cos \frac{\pi n}{2} \xi, \sqrt{2} \cos \frac{3\pi n}{2} \xi, \dots \right\} \quad (12) \\ \tilde{C}(t, \xi) &= \sum_{n=0}^{\infty} g_n e^{-\lambda_n t} \varphi_n(\xi) \quad (13) \\ \text{但し、 } g_n &= \int_{\Omega} g(\xi) \varphi_n(\xi) d\xi, \quad n=0, 1, 2, \dots \quad (14) \\ C_1(t, x) &= e^{-\frac{u}{2K} x^2} \cdot \sum_{n=0}^{\infty} g_n e^{-\lambda_n t} \varphi_n\left(\frac{x}{\sqrt{K}}\right) \quad (15) \\ \frac{\partial U}{\partial t}(t, x) &= K \frac{\partial^2 U}{\partial x^2} - u \frac{\partial U}{\partial x} \quad (16) \\ U(t, x) &= g \cdot \delta(x - x_s) \quad t \geq 0 \quad (17) \\ C_2(t, x) &= \int_0^t U(t-s, x) ds \quad (18) \\ C(t, x) &= C_1(t, x) + C_2(t, x) \quad (19) \\ J_e(g_n) &= \sum_{n=0}^N [E_k - C(k \cdot \Delta t, y_k)]^2 + \int_0^L g_e(x)^2 dx, \quad (20) \\ &e > 0. \end{aligned}$$

さて、任意の初期値 $g(\xi)$ ($\xi \in \Omega$) に対して、 \tilde{C} は(11)式のように展開できる。よって系(5)、(3)の解は(13)式となる。(14)式、(15)式のような $U(t, x, x)$ を考える。ここで(16)式のような $C_2(t, x)$ を考えると、これが初期条件が0の場合の(2)式の解であることは容易に確かめられる。($U(t, x, x), C_2(t, x)$ は境界条件(3)を満たしていることに注意。) 結局以上のことより、系(2)、(3)の解は(17)式のように求まった。ところで、系(2)、(3)、(4)はN段出力制御師であることが示されるので、正則化の方法を使って、(18)式の評価関数を最小にする近似初期値 $g_e(x)$ を求める。($g_e(x)$ は観測データに連続的に依存している。) 実際の計算は(18)式に(17)式を代入することによって g_n の2次元形式になるので、非線形計画法によって数値解を求めることができる。適当な初期値を与えて本方法のvalidityを検証しているが、詳細は秘表のところに示す。

5. あとがき 本方法は、他の環境汚染(例えば、水質汚濁)にも適用可能である。